

ОБОБЩЕНИЕ И АНАЛИЗ КРИТЕРИЯ СТАТИЧЕСКОЙ НЕУСТОЙЧИВОСТИ ДВУХФАЗНЫХ ПОТОКОВ ДЛЯ КАНАЛОВ И ПОДЪЕМНЫХ ВЕТВЕЙ ЯЭУ

АННОТАЦИЯ

Представлено обобщение и анализ аналитической модели критерия статической неустойчивости (СН) двухфазного потока в каналах и подъемных ветвях контуров ЯЭУ. Задача СН сведена к канонической квадратичной форме, представляющей уравнение кривой второго порядка, с коэффициентами, зависящими от геометрических и режимных условий, полученные аналитические решения можно отнести к “образцовым” (benchmark) решениям. Проведен анализ критериального уравнения СН.

ВВЕДЕНИЕ

Определение границ статической (апериодической) неустойчивости потока теплоносителя в элементах энергооборудования основано на использовании экстремального свойства характеристики перепада давления от расхода G_A [1] в каналах:

$$\partial(\Delta P)/\partial G_A|_{\text{экстрем}} = 0. \quad (1)$$

Это условие связывает причину возникновения СН с немонотонным поведением гидравлической характеристики $\Delta P = F(G_A)$, которое обусловлено нелинейной зависимостью потерь давления от расхода и паросодержания двухфазного потока.

В потоках с неоднородными профилями, например седлообразного распределения паросодержания, имеют место точки экстремума, что показано в экспериментах ИТФ СО РАН [2] и описано с помощью К1М модели [3, 4]. Это позволяет выдвинуть гипотезу о возможности использования свойства производной в экстремальной точке расходной характеристики $d(\Delta P)/dG = 0$ в качестве основного условия для построения критерия наступления статической неустойчивости, связанной также и с неоднородными профилями параметров. В работах [3, 4] представлено квазиодномерное (К1М) аналитическое описание для потерь трения двухфазного потока с неоднородным профилем паросодержания $\alpha(r)$, в котором коррекция потерь трения по гомогенной модели λ_0 проводится на основе фактора формы

$$\Psi_{k1} = 1 + F(\lambda_0, \alpha(r), Fr_G) \quad (2)$$

в виде

$$\lambda = \lambda_0 \cdot \Psi_{k1}. \quad (3)$$

По своему физическому и математическому смыслу Ψ_{k1} отражает влияние распределенных в сечении канала массовых сил. Для потоков с однородным профилем форм-фактор $\Psi_{k1} \equiv 1$ при $\alpha(r) = \text{const}$.

1. ОБОБЩЕННЫЙ КРИТЕРИЙ СН ДЛЯ ПОДЪЕМНЫХ ВЕТВЕЙ И КОНТУРОВ ЯЭУ

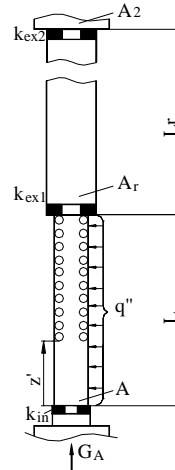


Рис. 1. Упрощенная схема канала (подъемной ветви) ЯЭУ

Ниже с целью сохранения общности моделей термогидравлики, разрабатываемых для анализа устойчивости, рассматривается схема элементов ЯЭУ (рис. 1), пригодная для описания легководных реакторов типа ВВЭР, РБМК и АСТ и сохраняющая все основные компоненты, типичные и для контуров ЕЦ ЯЭУ. На ней указаны также характерные высоты и местные сопротивления.

Рассмотрим подъемную ветвь контура ЕЦ. Уравнение движения для нее учитывает массовые силы и наличие подъемного участка длиной L_r с сопротивлением на выходе k_{ex2} :

$$\begin{aligned} \Delta P = & \frac{G_A^2 F_\lambda}{\rho'} \left\{ \frac{z' \rho'}{\bar{\rho}_f} + \frac{\Psi_{k1} (1 - z') \rho'}{\bar{\rho}} + F_{\lambda r} \frac{\rho'}{\bar{\rho}_{Lr}} \left(\frac{A}{A_r} \right)^2 + \right. \\ & \left. + \frac{k_i \rho'}{2 \rho_{fin}} + \frac{k_{ex} \rho'}{2 \rho_{ex1}} \left(\frac{A}{A_r} \right)^2 \left[1 + \frac{k_{ex2} \rho_{ex1}}{k_{ex1} \rho_{ex2}} \left(\frac{A_r}{A_2} \right)^2 \right] \right\} - \\ & - g \cos \theta_z L \left(z' \bar{\rho}_f + (1 - z') \bar{\rho} + L_r \bar{\rho}_{Lr} \right). \quad (4) \end{aligned}$$

Применение условия (1) к уравнению (4) дает следующий критерий статической неустойчивости:

$$\begin{aligned} & [(1 + B_d)(\Psi_{k1} + k_e - FR) + (1 + B_{dr})(F_{\lambda r} - LR \cdot FR)] Ku^2 + \\ & + 2[(1 - Ja)(2\Psi_{k1} + F_{\lambda r} + k_e) + F_{\lambda r} + k_i - \\ & - (B_d \Psi_{k1} + B_{in} k_i) Ja] Ku + Ja \{ (Ja(3\Psi_{k1} + FR) - \\ & - 3B_{in}(1 + FR/6)) + 6(1 - \Psi_{k1}) \} = 0, \quad (5) \end{aligned}$$

для сокращения записи использованы приведенные ниже обозначения рабочего (L) и подъемного (L_r) участков (см. рис. 1) с безразмерными параметрами:

$$\begin{aligned} FR = & \frac{Fr_G}{F_\lambda}; F_{\lambda r} = \frac{\lambda_r L_r}{2 F_\lambda d_{er}} \left(\frac{A}{A_r} \right)^2; LR = \frac{L_r}{L}; k_i = \frac{k_{in}}{F_\lambda}; \\ F_\lambda = & \frac{\lambda_0 L}{2 d_e}; k_e = \frac{k_{ex1}}{F_\lambda} \left(\frac{A}{A_r} \right)^2 \left[1 + \frac{k_{ex2} \rho_{ex1}}{k_{ex} \rho_{ex2}} \left(\frac{A_r}{A_2} \right)^2 \right]. \quad (6a-e) \end{aligned}$$

Поправки B_{in} , B_d и B_{dr} на «дефект» плотности из-за термического расширения и кипения с недогревом учитывают неравномерный профиль паровой фазы через осредненное по длине расходное паросодержание.

Уравнение (5) представляет КИМ форму критерия статической неустойчивости для подъемной ветви, состоящей из обогреваемого и подъемного участков (рис. 1), и является дальнейшим КИМ обобщением критерия Рохаджи-Даффи [1].

Критерий (5) с математической точки зрения является *общим уравнением второй степени* с параметрами, представляющими термогидравлические характеристики рассматриваемого канала (подъемной ветви контура ЕЦ). Условия существования положительных вещественных решений для него:

$$Ja_0 \geq \left(1 + \frac{k_i}{2\Psi_{k1} + k_e}\right) \frac{2\Psi_{k1} + k_e}{2\Psi_{k1} + k_e + B_d\Psi_{k1} + B_{in}k_i}, \quad (7)$$

$$Ja_{cr} = \max \left\{ \left[(1 - Ja)(2\Psi_{k1} + F_{\lambda_r} + k_e) + F_{\lambda_r} + k_i - (B_d\Psi_{k1} + B_{in}k_i)Ja \right]^2 - \left[(1 + B_d)(\Psi_{k1} + k_e - FR) - (1 + B_{dr})(F_{\lambda_r} - LR \cdot FR) \right] \times \right. \\ \left. \times Ja \left[Ja(3\Psi_{k1} + FR) - 3B_{in}(1 + FR/6) \right] + 6(1 - \Psi_{k1}) \right\} = 0 \}. \quad (8)$$

Значения критического недогрева по (8), определяющие наступление СН, для подъемной ветви ниже, чем для простого канала, поскольку как учет неоднородных профилей паросодержания (при $\Psi > 1$), так и влияние дополнительных сопротивлений элементов подъемной ветви (λ_r и k_{ex2} , а также B_{in} , и B_d) снижают значения критического недогрева наступления статической неустойчивости, увеличивая область СН в координатах Ja - Ku . С консервативной точки зрения наименьший из корней уравнения (8) определяет критический недогрев на входе в рабочий участок у границы статической устойчивости в рассматриваемой подъемной ветви.

2. АНАЛИЗ КРИВЫХ ВТОРОГО ПОРЯДКА, ВОЗНИКАЮЩИХ ИЗ КИМ КРИТЕРИЯ СН

Аналитическая форма обобщенного критерия СН (5) представляется весьма полезной как с точки зрения математического анализа его основных свойств, так и для дальнейшей верификации и валидации разрабатываемой модели.

Для наиболее полного и лаконичного физико-математического анализа полезно записать его в каноническом виде, используя матричную форму представления коэффициентов

Тогда критерий (5) может быть представлен в декартовой системе координат в классическом каноническом виде (см. (9)) и инвариантов кривых второго порядка (10а-в):

$$a_{11}x^2 + 2a_{12}xy + a_{22}y^2 + 2a_{13}x + 2a_{23}y + a_{33} = 0, \quad (9)$$

где $a_{ik} = a_{ki} \quad (i, k = 1, 2, 3);$

$$I = a_{11} + a_{22}, \quad \delta = \begin{vmatrix} a_{11} & a_{12} \\ a_{21} & a_{22} \end{vmatrix}, \quad A = \begin{vmatrix} a_{11} & a_{12} & a_{13} \\ a_{21} & a_{22} & a_{23} \\ a_{31} & a_{32} & a_{33} \end{vmatrix}. \quad (10а-в)$$

Используя их, нетрудно получить координаты центра кривой (и другие математические характеристики исследуемых кривых второго порядка):

$$x_0 = -\frac{1}{\delta} \begin{vmatrix} a_{13} & a_{12} \\ a_{23} & a_{22} \end{vmatrix}, \quad y_0 = -\frac{1}{\delta} \begin{vmatrix} a_{11} & a_{13} \\ a_{21} & a_{23} \end{vmatrix} \quad (\delta \neq 0). \quad (11а,б)$$

Характеристическая квадратичная форма и соответствующие ей уравнения есть

$$F_0(x, y) = a_{11}x^2 + 2a_{12}xy + a_{22}y^2, \quad (12)$$

$$\begin{vmatrix} a_{13} - \chi & a_{12} \\ a_{23} & a_{22} - \chi \end{vmatrix} = 0 \quad \text{или} \quad \chi^2 - I\chi + \delta = 0, \quad (13а,б)$$

где корни χ_1, χ_2 являются собственными значениями действительной симметричной матрицы $[a_{ik}]$ и, как следствие этого, всегда действительны.

Ниже эти определения использованы для изучения важнейших свойств полученного КИМ критерия статической неустойчивости (5).

Границы статической неустойчивости по критерию (5) – суть гиперболы.

Найдем знак второго инварианта критерия (5) с помощью малого дискриминанта $-\delta$ (см. 10б). Этот знак определяет тип линии второго порядка, в частности $\delta < 0$ относит ее к гиперболическому типу. Записав (10б) в физических переменных, получим

$$\delta = -\left\{ \Psi_{k1}^2(1 + B_d + B_d^2) + \Psi_{k1} \left[k_e(1 - B_d) + (1 + B_d) \right. \right. \\ \left. \left. (2FR + 3B_{in}(1 + FR/6)) + 2(2 + B_d)(F_{\lambda_r} + B_{in}k_i) \right] + \right. \\ \left. + k_e^2 + (F_{\lambda_r} + B_{in}k_i)(2k_e + F_{\lambda_r} + B_{in}k_i) + \right. \\ \left. + (1 + B_{dr})(LR \cdot FR - F_{\lambda_r})(3\Psi_{k1} + FR - 3B_{in}(1 + FR/6)) + \right. \\ \left. + (1 + B_d)(k_e - FR)(FR - 3B_{in}(1 + FR/6)) \right\}. \quad (14)$$

Замечая, что все составляющие для a_{ik} малого дискриминанта (14) по своему физическому смыслу больше нуля, а также, что вклад отрицательных слагаемых меньше положительных (даже при больших значениях $(FR > 10)$), убеждаемся, что $\delta < 0$. Полученный результат представляет доказательство *гиперболического* типа кривой второго порядка. Его можно сформулировать в виде следующей леммы.

Лемма. Алгебраическая кривая второго порядка, описывающая границу статической неустойчивости, определяемой КИМ критерием (5), является гиперболой, поскольку *характеристическая квадратичная форма* (12), представленная соотношением (14) для малого дискриминанта (10б), является *отрицательно определенной*.

Малый дискриминант входит составной частью в основные характеристические уравнения, описывающие поведение искомых кривых второго порядка, представляющих границы статической неустойчивости. Упрощения малого дискриминанта (14) наступают при следующих допущениях:

1) для высоких скоростей $FR \rightarrow 0$

$$\delta = -\left\{ \Psi_{k1}^2(1+B_d+B_d^2) + \Psi_{k1}[k_e(1-B_d) + 3B_{in}(1+B_d) + 2(2+B_d)(F_{\lambda r} + B_{in}k_i)] + k_e^2 + (F_{\lambda r} + B_{in}k_i) \times \right. \\ \left. \times (2k_e + F_{\lambda r} + B_{in}k_i) - 3F_{\lambda r}(1+B_{dr})(\Psi_{k1} - B_{in}) - 3B_{in}k_e(1+B_d) \right\}; \quad (15)$$

2) при малом влиянии термического расширения $B_{in} \rightarrow 0$

$$\delta = -\left\{ \Psi_{k1}^2(1+B_d+B_d^2) + \Psi_{k1}[k_e(1-B_d)] + k_e^2 + F_{\lambda r} \left(2[\Psi_{k1}(2+B_d) + k_e] + F_{\lambda r} - 3\Psi_{k1}(1+B_{dr}) \right) \right\}; \quad (16)$$

3) при незначительном влиянии неравновесного пара $B_d \rightarrow 0$ и $B_{dr} \rightarrow 0$

$$\delta = -\left\{ \Psi_{k1}^2 + \Psi_{k1}k_e + k_e^2 + F_{\lambda r}(\Psi_{k1} + 2k_e + F_{\lambda r}) \right\}; \quad (17)$$

4) для гомогенной модели (с равными скоростями фаз) $\Psi_{k1} \equiv 1$

$$\delta = -\left\{ 1 + k_e + k_e^2 + F_{\lambda r}(1 + 2k_e + F_{\lambda r}) \right\}; \quad (18)$$

5) для простого канала – без подъемного участка $F_{\lambda r} \equiv 0$

$$\delta = -\left\{ 1 + k_e + k_e^2 \right\}. \quad (19)$$

Последние четыре соотношения ясно указывают, что возможность перехода от гиперболического характера кривых, описывающих границу статической неустойчивости, к параболическому (при $\delta > 0$) возникает лишь при высокой неравновесности в области весьма малых расходов (большие значения числа FR). Если допустить, что изменения переменных в (14) имеют порядок единицы, то для того, чтобы малый дискриминант стал больше нуля, необходимо, по крайней мере, чтобы $FR \gg 20$.

Асимптоты граничной кривой СН.

Знание асимптотического поведения граничных кривых важно при тестировании и верификации разрабатываемой модели.

Для отыскания наклонных асимптот КИМ критерияльного уравнения СН (5) подставим в него искомую форму наклонной асимптоты $Ja = \eta Ku + b$ и, выделив группу «старших» (квадратичных) членов, получим

$$a_{22}\eta^2 - 2a_{12}\eta + a_{11} = 0, \quad (20)$$

$$b(b \cdot a_{22} + 2a_{23}) = 0, \quad (21)$$

из которых следует, что $b=0$, а углы наклона асимптоты $\eta_{1,2}$ в каноническом виде есть

$$\eta_{1,2} = \frac{a_{12} \pm \sqrt{a_{12}^2 - a_{11}a_{22}}}{a_{22}} = \frac{a_{12} \pm \sqrt{-\delta}}{a_{22}} = \\ = \frac{(\Psi_{k1}(2+B_d) + F_{\lambda r} + k_e + B_{in}k_i) \pm \sqrt{-\delta}}{3\Psi_{k1} + FR - 3B_{in}(1 + FR/6)}. \quad (22)$$

Рассмотрим предельные случаи:

1) для незначительного влияния $B_{in} \rightarrow 0$ и неравновесного пара $B_d \rightarrow 0$, $B_{dr} \rightarrow 0$ в области умеренных и высоких массовых скоростей $FR \rightarrow 0$

$$\eta_{1,2} = \frac{2\Psi_{k1} + F_{\lambda r} + k_e \pm \sqrt{\Psi_{k1}^2 + \Psi_{k1}k_e + k_e^2 + F_{\lambda r}(\Psi_{k1} + 2k_e + F_{\lambda r})}}{3\Psi_{k1}}; \quad (23)$$

2) для гомогенной модели $\Psi_{k1} \equiv 1$

$$\eta_{1,2} = \frac{2 + F_{\lambda r} + k_e \pm \sqrt{1 + k_e + k_e^2 + F_{\lambda r}(1 + 2k_e + F_{\lambda r})}}{3}; \quad (24)$$

3) при $F_{\lambda r} \ll 1$ и $k_e \ll 1$ после разложения в ряд Тейлора имеем

$$\eta_1 \approx 1 + k_e/6 \text{ и } \eta_2 \approx (1 - k_e/2)/3. \quad (25)$$

Последняя зависимость представляет грубую оценку поведения асимптоты граничной кривой СН.

Главное направление оси гиперболы (между ею и осью ox) определяется формулой

$$\text{tg}(2\varphi) = \frac{2a_{12}}{a_{11} - a_{22}}, \quad (26)$$

которое, в частности, в приведенных выше предельных случаях 1)–3) предстанет как

$$\varphi = \frac{1}{2} \arctg \left(\frac{2(2\Psi_{k1} + F_{\lambda r} + k_e)}{2\Psi_{k1} - k_e} \right)_{\Psi_{k1} \equiv 1} = \\ = \frac{1}{2} \arctg \left(\frac{2(2 + F_{\lambda r} + k_e)}{2 - k_e} \right)_{F_{\lambda r} \ll 1, k_e \ll 1} \cong 31,72^\circ. \quad (27)$$

Как видно из сравнения угла наклона асимптот (большого из корней) по (23)–(25), эти зависимости отличаются от (27) в большую сторону, что указывает на расширение области неустойчивости с ростом аргумента Ku . Если в пространстве Ja - Ku за начало координат принять точку $(0, 0)$, соотношения (22) и (26) можно рассматривать как асимптотические приближения КИМ критерия для области статической неустойчивости пароводяных потоков в канале (подъемной ветви контура ЕЦ).

3. КРИТЕРИЙ ПРЕДЕЛЬНЫХ ЗНАЧЕНИЙ НЕДОГРЕВА Ja_{cr} НА ГРАНИЦЕ СН

Вывод критерия Ja_{cr} исходит из положительности дискриминанта исходного обобщенного соотношения (5), каноническое решение которого есть

$$Ja_{cr,2} \equiv \frac{a_{12}a_{13} + a_{11}a_{23} \pm \sqrt{a_{11}(a_{22}a_{13}^2 + a_{23}(2a_{12}a_{13} + a_{11}a_{23}))}}{-\delta (= a_{12}^2 - a_{11}a_{22})}. \quad (28)$$

Это наиболее лаконичная и полная форма критерия критического недогрева для границы статической неустойчивости. Малые значения a_{23} характерны для потоков с малой неоднородностью и малым влиянием изменения плотности жидкой фазы.

Для дальнейшего анализа выразим коэффициенты Ja_{cr} через физические характеристики нашей

модели СН (5) (ниже индекс k_1 опущен и обозначено $k_{er} = F_{\lambda r} + k_e$). Тогда в приведенных выше предельных случаях 1)–3) при $a_{23} \rightarrow 0$ зависимость для критического недогрева станет:

$$1) \text{Ja}_{cn,2} = \frac{(2\Psi + k_{er})(2\Psi + k_{er} + k_i)}{\Psi^2 + \Psi k_e + k_e^2 + F_{\lambda r}(\Psi + 2k_e + F_{\lambda r})} \times \left(1 \pm \sqrt{\frac{\Psi^2 + \Psi k_e + k_e^2 + F_{\lambda r}(\Psi + 2k_e + F_{\lambda r})}{(2\Psi + k_{er})^2}} \right), \quad (29)^*$$

$$2) \text{Ja}_{cn,2} = \frac{(2 + k_{er})(2 + k_{er} + k_i)}{1 + k_e + k_e^2 + F_{\lambda r}(1 + 2k_e + F_{\lambda r})} \times \left(1 \pm \sqrt{\frac{1 + k_e + k_e^2 + F_{\lambda r}(1 + 2k_e + F_{\lambda r})}{(2 + k_{er})^2}} \right), \quad (30)$$

$$3) \text{Ja}_{cn,2} = \frac{(2 + k_e)(2 + k_e + k_i)}{1 + k_e + k_e^2} \cdot \left(1 \pm \sqrt{\frac{1 + k_e + k_e^2}{(2 + k_e)^2}} \right). \quad (31)$$

Далее при $1 \gg k_e$ критерий (31) принимает простейший вид

$$\text{Ja}_{cn,2} = 2(2 + k_i) \cdot (1 \pm \sqrt{1/2}). \quad (32)$$

Как видно из соотношений (27)–(31), в зависимости от конкретных гидравлических и геометрических свойств рассматриваемого канала (ветви контура ЕЦ) значения критического недогрева могут отличаться как в большую, так и меньшую сторону от простейшего. Соотношение (32) уточняет также и критерий П.А. Петрова, связывая его с сопротивлением на входе в канал.

Координаты центра гиперболы следуют из соотношений (11а,б) и в физических переменных К1М модели статической неустойчивости (5), (15) имеют вид:

$$\text{Ku}_0 = \frac{(2\Psi + k_{er} + k_i)[3\Psi + FR - 3B_{in}(1 + FR/6)] - \delta}{-3(\Psi - 1)((2 + B_d)\Psi + k_{er} + B_{in}k_i)}, \quad (33)$$

$$\text{Ja}_0 = \frac{((2 + B_d)\Psi + k_{er} + B_{in}k_i)(2\Psi + k_{er} + k_i) + 3(\Psi - 1)}{-\delta} \times \frac{[(1 + B_d)(\Psi + k_e - FR) + (1 + B_{dr})(F_{\lambda r} - LR \cdot FR)]}{-\delta}. \quad (34)$$

Для рассмотренных выше трех предельных случаев имеем:

$$\text{при } B_{in} \rightarrow 0, B_d \rightarrow 0, B_{dr} \rightarrow 0 \text{ и } FR \rightarrow 0$$

$$\text{Ku}_0 = \frac{3\Psi(2\Psi + k_{er} + k_i) - 3(\Psi - 1)(2\Psi + k_{er})}{\Psi^2 + \Psi k_e + k_e^2 + F_{\lambda r}(\Psi + 2k_e + F_{\lambda r})}, \quad (35)$$

*) Выражения для полуосей гиперболы $A = \sqrt{-A/(\chi_1 \delta)}$ и $B = \sqrt{-A/(\chi_2 \delta)}$ оказываются громоздкими (по сравнению с (29)) и, представляя лишь академический интерес, в дальнейшем не рассматриваются.

$$\text{Ja}_0 = \frac{(2\Psi + k_{er})(2\Psi + k_{er} + k_i) + 3(\Psi - 1)(\Psi + k_{er})}{\Psi^2 + \Psi k_e + k_e^2 + F_{\lambda r}(\Psi + 2k_e + F_{\lambda r})}; \quad (36)$$

при $\Psi \equiv 1$ и при $F_{\lambda r} = 0$ и $k_e \ll 1$ получим

$$\text{Ku}_0 = \frac{3(2 + k_{er} + k_i)}{1 + k_e + k_e^2 + F_{\lambda r}(1 + 2k_e + F_{\lambda r})}, \quad (37)$$

$$\text{Ja}_0 = \frac{(2 + k_{er})(2 + k_{er} + k_i)}{1 + k_e + k_e^2 + F_{\lambda r}(1 + 2k_e + F_{\lambda r})}, \quad (38)$$

что сопоставимо с предельными значениями недогрева простейшей модели [1].

ЗАКЛЮЧЕНИЕ

Критерий статической неустойчивости приведен к канонической квадратичной форме, представляющей уравнение кривой второго порядка с коэффициентами, зависящими от геометрических размеров и режимных условий, полученные решения можно отнести к “образцовым” (benchmark) решениям. Аналитическая форма этих соотношений обеспечивает наибольшую глубину и полноту анализа полученных результатов.

Полученные аналитические соотношения составляют содержание К1М метода описания границы СН двухфазных неравновесных потоков в каналах и подъемных ветвях (контуров ЕЦ). Эти новые результаты существенно расширяют и углубляют как эмпирические модели СН типа П.А. Петрова, так и аналитические типа Рохаджи-Даффи [1] в отношении учета неоднородных распределений параметров, а также с точки зрения математического анализа алгебраических кривых, возникающих из К1М критерия.

Доказан гиперболический тип кривых, описывающих границы СН. Получены соотношения для асимптот и координат центра гиперболы, показаны предельные переходы к моделям с более “сильными” допущениями: с преобладанием вынужденной циркуляции $FR=0$ и отсутствием эффектов с термическим расширением и поверхностным кипением $B_{in} \rightarrow 0$, $B_d (=B_{dr}) \rightarrow 0$, гомогенной $\Psi \equiv 1$, а также к простейшей модели с малым влиянием сопротивления на выходе $k_e=0$.

СПИСОК ОБОЗНАЧЕНИЙ

- A – площадь поперечного сечения;
- B_{in}, B_d, B_{dr} – безразмерные дефекты плотности;
- C_p – удельная теплоемкость;
- d – диаметр канала;
- g – ускорение свободного падения;
- G_A – массовая скорость потока;
- h – удельная энтальпия потока;
- h_{fg} – теплота парообразования;
- P – давление;
- q'' – плотность теплового потока;
- $Q_0 = q'' L \pi d$ – тепловой поток;

z' – координата конца экономайзерного участка;
 α – истинное объемное паро(газо)содержание;
 θ – угол наклона к вертикальной оси;
 λ – коэффициент трения;
 ρ – плотность;
 $Ku = Q_0(\rho_f - \rho_g) / (AG_A h_{fg} \rho_g)$ – число Кутателадзе;
 $Ja = \Delta h_{in}(\rho_f - \rho_g) / (h_{fg} \rho_g)$ – число Якоба;
 $Fr_G = g \cos \theta L \rho_f^2 / G_A^2$ – число Фруда.

Индексы:

f – жидкость;
 g – пар;
 in – вход;
 ex – выход;
 $'$ – насыщение.

СПИСОК ЛИТЕРАТУРЫ

1. **Rohatgi U.S., Duffey R.B.** Natural Circulation and Stability Limits in Advanced Plants: the Galilean Law // Proc. Int. Conf. on New Trends in Nuclear System Thermal Hydraulics. Pisa, Italy, 1994. V.1. P.177–185.
2. **Nakoryakov V.E., Kashinsky O.N., Burdukov A.P., Odnoral V.P.** Local characteristics of upward gas-liquid flows // Int. J. Multiphase Flow. 1981. V.7. P.63–81.
3. **Kornienko Y.N.** Generalized integral forms for friction, heat and mass transfer coefficients // Int. J. Heat Mass Transfer. 1995. V.38. N16. P.3103–3108.
4. **Kornienko Y.N.** Development of Lyon-Type Closure Relationships for Non-Homogeneous Flows in Simple Geometry Channels // Journal of Engineering Thermophysics. 2003. V.12. N2. P.131–142.